報告 膨張コンクリートによる鋼道路橋RC床版ひび割れ対策工の 33 年間 追跡調査

豊福 俊泰*1・内野 雅彦*2・松井 秀誠*3・篠原 知則*4

要旨:鋼道路橋の鉄筋コンクリート (RC) 床版は, 1965 (昭和 40) 年代初めから,大型車通行の増大に伴い,ひび割れ劣化が生じ,部分的に抜け落ちる事例が各所で頻発し,道路管理上の重要課題となった。そこで,長崎自動車道黒石浜橋(鋼単純合成桁橋)および多良見橋(鋼4径間連続非合成桁橋)において,鋼道路橋 RC 床版のひび割れ劣化対策として膨張コンクリートを,我が国で初めて実橋に適用し,その効果を追跡調査した。本報告は,黒石浜橋 33 年経過後,多良見橋 31 年経過後の追跡調査結果から,鋼道路橋 RC 床版のひび割れ発生・劣化のメカニズムとともに膨張コンクリートの有効性を検証したものである。

キーワード:鋼道路橋, RC 床板, 膨張コンクリート, ひび割れ密度

1. はじめに

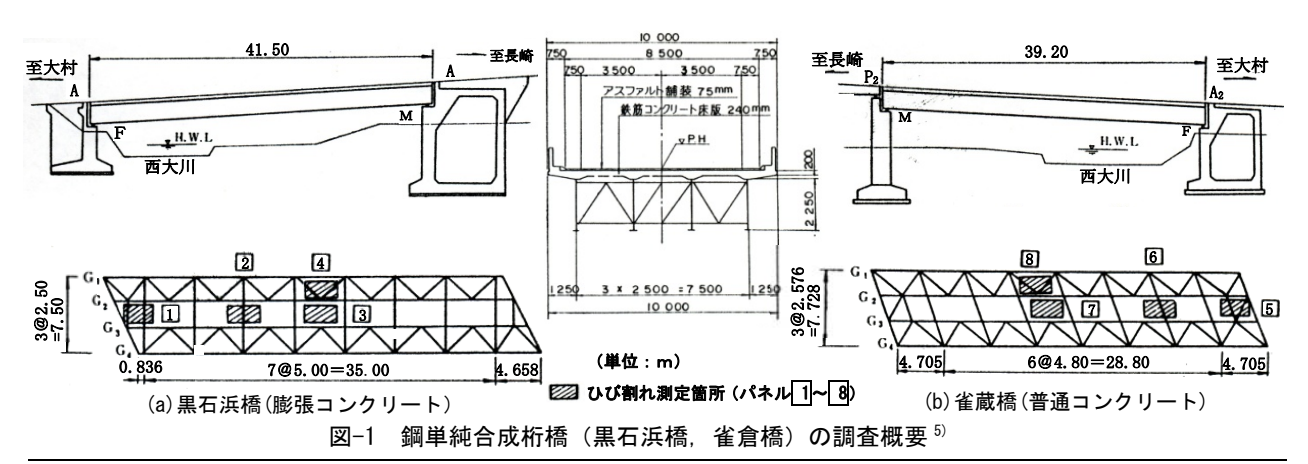
道路橋の鉄筋コンクリート (RC) 床版は, 1965 (昭和 40) 年代初めから, 経済発展による大型車(過大重量車) 通行の増大に伴い, ひび割れ劣化が生じ, 部分的に抜け 落ちる事例が各所で頻発し、道路管理上の重要課題とな ったため、諸機関において種々の研究が進められた1)など。 高速自動車国道においても, 名神や東名高速道路などの 鋼橋 RC 床版の劣化問題が注目され、課題 2) などとなって いた。そこで、昭和51 (1976) 年度から日本道路公団試 験所コンクリート試験室(当時)では、大型疲労試験機 による疲労試験と実橋の荷重応答調査の両面から, 鋼道 路橋RC床版のひび割れ発生・劣化のメカニズムを解明 するとともにその対策工を開発する研究を推進し報告 3) などした。この成果から、長崎自動車道黒石浜橋(鋼単純 合成桁橋, 膨張コンクリート RC 床版), 雀倉橋(鋼単純 合成桁橋、普通コンクリート RC 床版) および多良見橋 (鋼4径間連続非合成桁橋, 膨張・普通コンクリート RC 床版)において、鋼道路橋 RC 床版のひび割れ劣化対策 として有効と考えられた膨張コンクリートを, 我が国で

初めて実橋に適用し、その効果を 16 年経過後まで追跡調査によって検証した $^{3)\sim6}$)。さらに、コンクリートの打込み直後からの水分逸散、温度変化などに起因する初期ひび割れを解明する研究を継続した $^{7/45}$ 。

以上のことから、本論文は、これらのまとめとして、 黒石浜橋 33 年経過後、多良見橋 31 年経過後の追跡調査 結果から、鋼道路橋R C床版のひび割れ発生・劣化のメ カニズムとともに膨張コンクリートの有効性を検証した ものである。

2. 調査橋梁の概要

合成桁である黒石浜橋(諫早IC下りランプ,膨張コンクリート床版)およびこれと対比した雀倉橋(同IC上りランプ,普通コンクリート床版)の概要は、図-1および表-1に示すとおりであり、打設したコンクリートの品質を表-2に示す³)~5)。ひび割れの測定箇所は、支点部の中桁間([1と[5]:走行車線部)、支間中央部の中桁間([3]と[7]:走行車線部)、耳桁間([4]と[8]:追越車線部)とした。また、非合成桁である多良見橋(膨張・普通コンクリー



*1 九州産業大学 名誉教授(元日本道路公団福岡建設局長崎工事事務所諫早工事長) 工博 (名誉会員)

^{*2} 西日本高速道路株式会社本社保全改築課 課長(前同社九州支社熊本高速道路事務所 所長)

^{*3} 西日本高速道路(株)関西支社姫路高速道路事務所 副所長(前同社九州支社長崎高速道路事務所統括課 課長)

^{*4} 西日本高速道路エンジニアリング九州(株)大宰府点検事務所(前西日本高速道路(株)九州支社長崎高速道路事務所統括課)

表-1 調査橋梁の諸元 5)

橋梁形式	橋名	上下線の区分	床版コン クリート の種類 (コンク リート)	橋長 (m)	斜角 (°)	幅員 (m)	主桁			床版						
							本数(本)	間隔 (m)	高さ (m)	厚さ (cm)	主鉄筋 (mm)	配力鉄筋 (mm)	コンクリー トの種別の 契約記号	コンクリート の設計基 準強度 (N/mm²)	コンクリート の打設日 (年月日)	
鋼単純 合成桁	黒石浜橋	下りランプ	膨張	41.5	63	8.5	4	2.50	2.25	24.0	D19, 125ctc (かぶり40)	D16, 125ctc (かぶり40)	A ₁₋₃	29.4	昭55.10.31	
	雀倉橋	上りランプ	普通	38.95	70	8.5	4	2.576	2.20	23.0	D19, 125ctc (かぶり40)	D16, 125ctc (かぶり40)	A ₁₋₁	29.4	昭55.10.17	
鋼4径間 連続非合 成桁	多良見橋	下り(ブロック金)	膨張	149.15	0	9.25	5	2.00	2.00	21.0	D19, 125ctc (かぶり40)	D16, 125ctc (かぶり40)	B ₀₋₃	23.5	昭57.6.25	
		下り(ブロック金)	普通	149.15	0	9.25	5	2.00	2.00	21.0	D19, 125ctc (かぶり40)	D16, 125ctc (かぶり40)	B ₀₋₁	23.5	昭57.6.25	
		上り(ブロック ①)	普通	149.15	0	9.25	5	2.00	2.00	21.0	D19, 125ctc (かぶり40)	D16, 125ctc (かぶり40)	B ₀₋₁	23.5	昭57.4.28	

表-2 コンクリートの示方配合と打設したコンクリートの性質 5)

橋名	上下線の区分	床版コンクリート)	コンク リート の種別 の契約 記号	示 方 配 合											打設したコンクリート			
				粗骨材		空気量 (%) (7	水結合 材比	細骨材	単位量(kg/m³)						スラン	空気		圧縮強
				の最大 寸法 (mm)	スランプ (cm)		W C+E (%)	率 s/a (%)	水 W	セメント C	膨張材 E	細骨材 S	粗骨材 G	AE減 水剤	プ (cm)	量 (%)	温度 (℃)	度(材齢 28日) (N/mm²)
黒石浜橋	下りランプ	膨張	A ₁₋₃	25	8±2.5	4.0±1.0	41.2	40.0	160	345	35	699	1069	0.95	8.5	4.4	21	43.7
雀倉橋	上りランプ	普通	A ₁₋₁	25	8±2.5	4.0±1.0	41.2	40.0	160	380	0	699	1069	0.95	8.0	4.1	28	37.7
多良見橋	下り(ブロック�)	膨張	B ₀₋₃	25	8±2.5	4.0±1.0	50.3	42.5	161	285	35	760	1051	0.80	8.5	4.5	30	32.5
	下り(ブロック(小))	普通	B ₀₋₁	25	8±2.5	4.0±1.0	50.3	42.5	161	320	0	760	1051	0.80	9.0	4.0	32	32.9
	上り(ブロック(小))	普通	B ₀₋₁	25	8±2.5	4.0±1.0	50.3	42.5	161	320	0	760	1051	0.80	8.5	3.9	25	33.0

ト床版)の概要は、図-2に示すとおりであり(表-1、表-2参照)、橋梁形式が左右対称のため、膨張コンクリート床版を下り車線の側径間部に採用して普通コンクリート床版部と対比するものとし、さらに、これらの床版コンクリートの性能を地上部で観測するための供試体として、ダミーのコンクリート版をAI部横に設置した。

コンクリートの品質としては,ひび割れ,床版内部湿度・温度の測定を実施した。ひび割れの測定箇所は,支間中央部で対傾構による拘束がある箇所の A-A 断面,A'-A'断面および A"-A"断面(10 と 20: 下り追越車線部,11 と 21: 下り走行車線部,11 : 下り走行車線部,11 : 下り走行車線部,11 : 下り走行車線部,11 : 下り走行車線部)ならびに中間支点部 11 : C-C 断面(11 : 下り走行車線部)とした。床版内部の温度湿度の測定は,膨張コンクリート部(A-A 近傍断面),普通コンクリート部(A'-A'近傍断面)およびダミーのコンクリート版の3箇所で行った。測定箇所には,所定の位置(11 2-1 2-1 には,所定の位置(11 2-2 (11 2-2 (11 3) が対これをで封じており,測定時にこれらの穴に棒状タイプ温湿度計を挿入して約20分間ゴム粘土で密封後,測定値を読み取った 11 5-3。

ひび割れの測定データは、ハンチ部とこれを除く桁間の中央部とに区分し、ひび割れ長さおよび格子密度法によりひび割れ密度を算定した $^{2)}$ 。ひび割れ幅 (mm) は、0.05未満、 $0.05\sim0.15$ 、 $0.15\sim0.25$ 、0.25以上で区分した。

3. 測定結果および考察

3.1 鋼桁の拘束条件とひび割れとの関係

合成桁 (黒石浜橋,雀倉橋)・非合成桁 (多良見橋) の

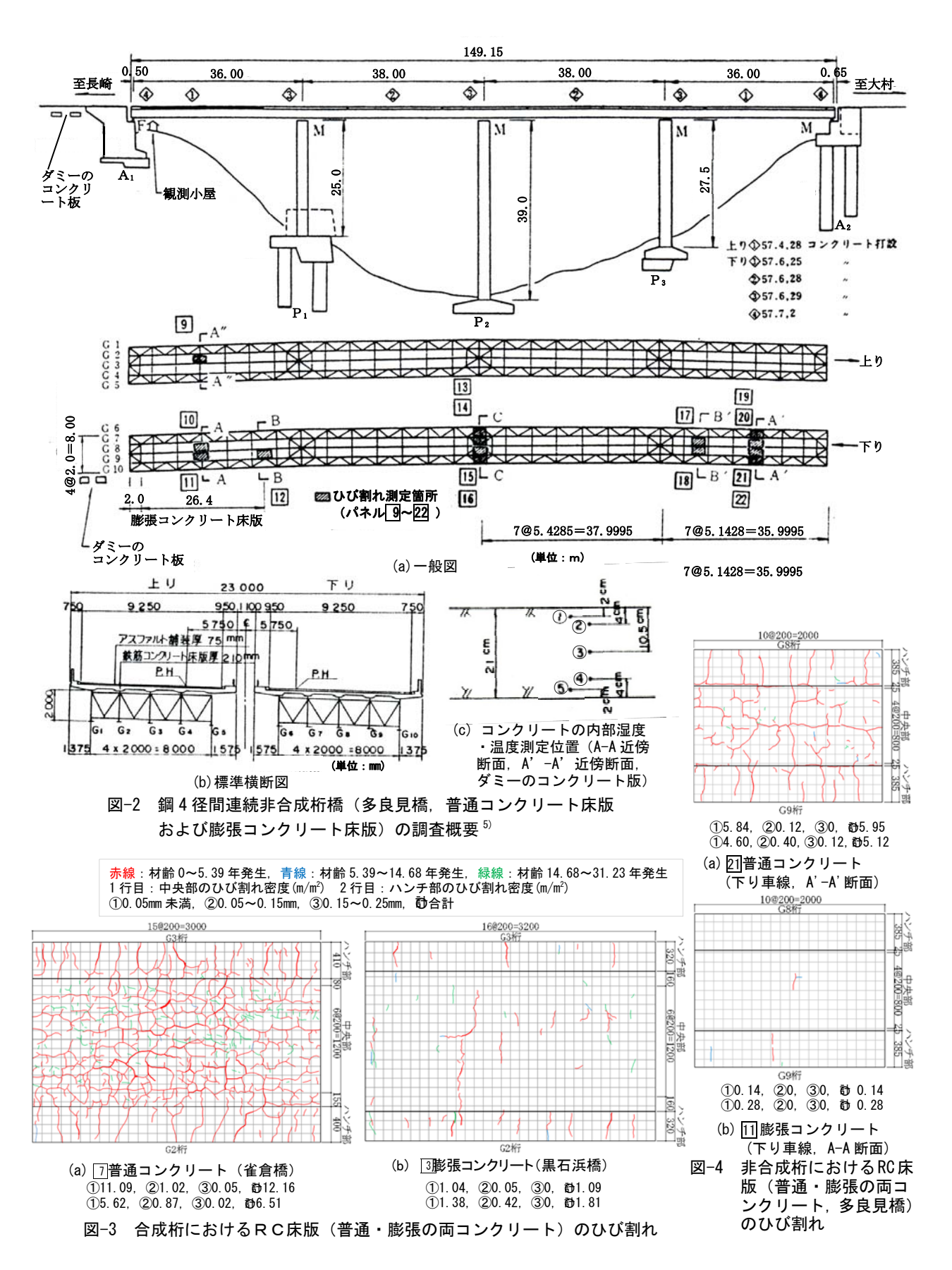
部位ごとのひび割れ発生状況は、図-3・図-4 に示すように、以下の傾向が認められる。

普通コンクリート床版の場合, 合成桁(雀倉橋) は, 非合成桁 (多良見橋 P₁~A₂) に比較して約 1.5~2 倍程度 ひび割れ密度が大きくなっており、ずれ止めとして前者 はスタッド、後者はスラブアンカーを採用しており、床 版に対する主桁の拘束度の差のためと考えられる 5。主 桁の拘束・死活荷重による応力等の影響は中央部に現れ ており, 非合成桁(多良見橋 P1~A2)の場合, 中間支点 部 | 15 | では,支間中央部 | 21 | に比べ 8.86/5.95≒1.5 倍程度 ひび割れ密度が大きくなっており、P2橋脚上で橋軸直角 方向の拘束が大きいためと、4 径間の中間支点上の床版 に主桁作用による引張応力が橋軸方向に大きく作用する ためと考えられる。合成桁(雀倉橋)の場合は、 $A_1 \sim A_2$ の支間中央部 7 では、支点部 5 に比べ 12.16/8.28≒1.5 倍程度ひび割れ密度が大きくなっており、支点部に比べ 曲げモーメントやたわみが大きくなためと考えられる。 また, 走行車線部 21 のひび割れ密度は, 追越車線部 20 に比べ 5.95/4.89 ≒ 1.2 倍程度が大きくなっており、繰返 し荷重による影響が現れているものと考えられる。

一方,膨張コンクリート床版の場合(黒石浜橋,多良見橋 $A_1 \sim P_1$),ひび割れが普通コンクリート床版に比べ極めて少なく $^{3)\sim 50}$,主に橋軸直角方向に発生しており,床版に対する主桁の拘束度のためと考えられ,繰返し荷重による影響が認められない。

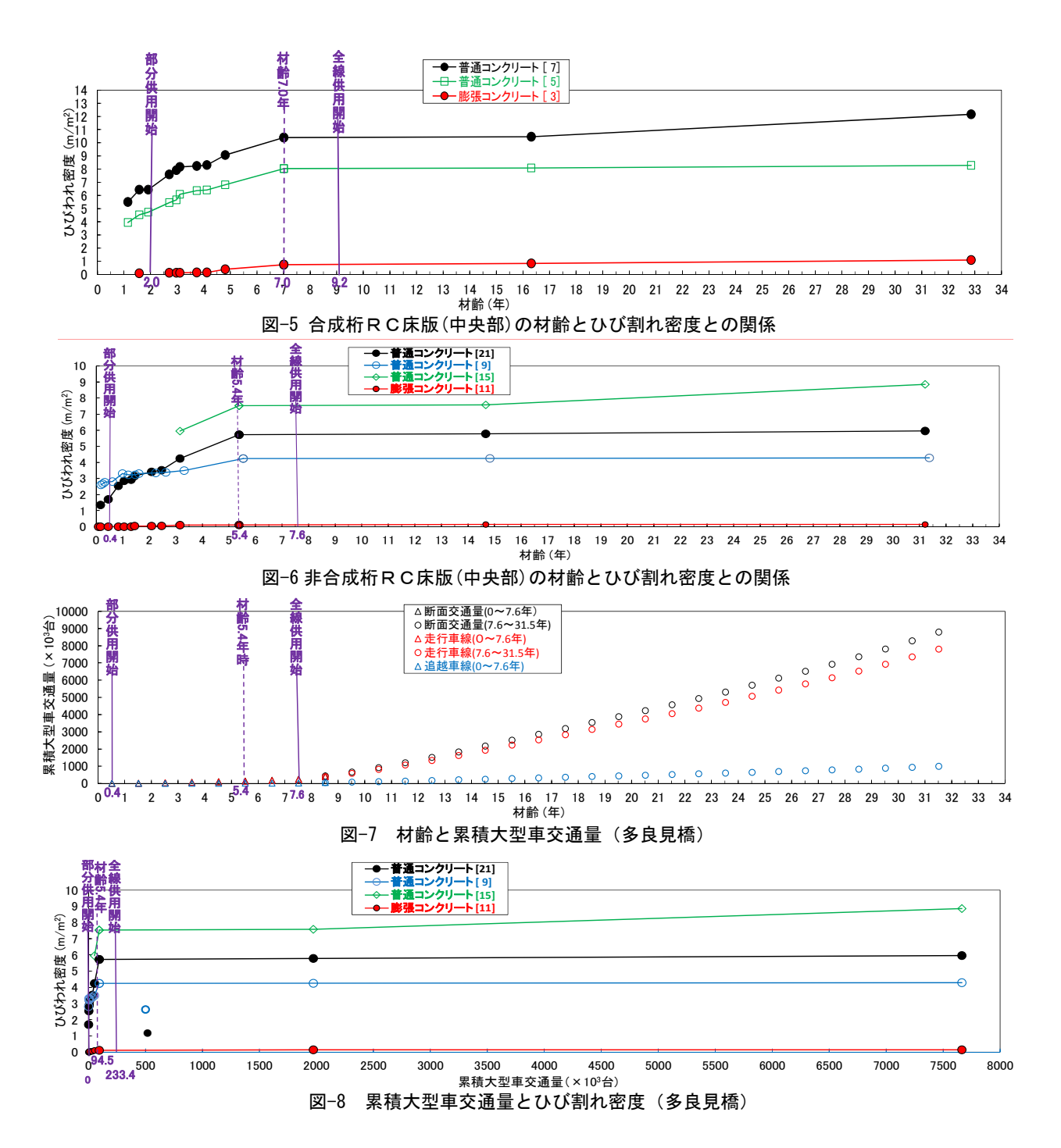
3.2 材齢とひび割れ密度との関係

合成桁 (黒石浜橋, 雀倉橋), 非合成桁 (多良見橋)



のひび割れ密度の経時変化は、図-5と図-6から、普通コンクリート床版の場合、供用開始し輪荷重が作用する前の材齢初期に多く発生しており、材齢の経過とともにひび割れ延長が増加しひび割れ幅が増大する傾向が認めら

れる。一方,膨張コンクリート床版の場合,約1.0N/mm² のケミカルプレストレスが導入されている ⁵⁾ため,材齢1 年半頃より徐々に発生するがその量は極めて少なく,ほとんどが0.05mm未満の微細ひび割れであり,進行速



度も小さい。また、普通コンクリート床版は、合成桁 RC 床版の場合:材齢約 7.0 年、非合成桁 RC 床版の場合:材齢約 5.4 年に変曲点が認められ、いずれもこれ以前はひび割れが累乗式的に進行しているが、これ以後はひび割れの進行が直線式的に変化している。このひび割れの進行は、乾燥収縮や大型車交通量 $^{1)x^{2}}$ との関係があると考えられ、合成桁 R C 床版の場合、支間中央部 $^{-1}$ が約 10m/m^{2} であるのに比べ、支点部 $^{-1}$ が約 8m/m^{2} と小さくなっている。また、非合成桁 RC 床版の場合、同様に変曲点が認められ、 $^{-1}$ 2 橋脚上でひび割れ密度が大きい下り車線の中間支点部 $^{-1}$ 5 が約 $^{-1}$ 7.5 m/m $^{-1}$ であるのに対し、同車線の支間中央部 $^{-1}$ 9 が約 $^{-1}$ 4 m/m $^{-1}$ と小さくなっている。

一方,膨張コンクリート床版 [1] は、ひび割れの進行が普通コンクリート床版に比べると殆ど認められない。

3.3 累積大型車交通量とひび割れ密度との関係

多良見橋の膨張コンクリート床版は、1982(昭和57)年6月25日に打設された。その後、全工事完成し供用開始により交通荷重が作用するところとなったが、諫早~長崎多良見IC間の年平均日交通量は、大村~長崎多良見IC間が供用開始(1982年11月17日、材齢145日・0.40年)した1982年時は4,104台/日であった。接続する大村~鳥栖IC間完成により長崎自動車道が全線供用開始(1990年1月26日、材齢7.6年)したのに伴い交通量が急増しており、材齢9年に相当する1991(平成3)年時に10,766台/日、材齢15年に相当する1997(平成9)年

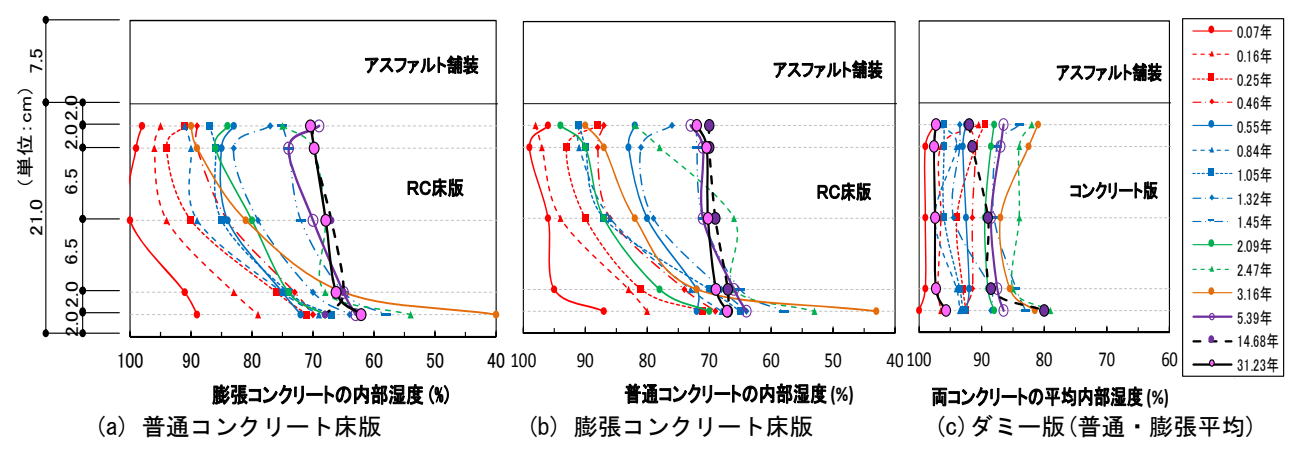


図-10 コンクリートの内部湿度 (多良見橋:地上高さ30m, ダミー版:地上高さ30cm)

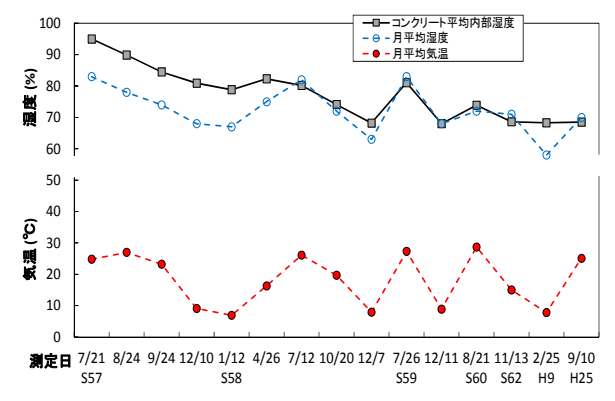


図-9 測定日の気温,湿度,コンクリート(測定位置 ①,②,③,④,⑤)の平均内部湿度(多良見橋)

時に 15,168 台, 材齢 30 年に相当する 2012 (平成 24) 年時に 24,080 台/日 (対前年比 1.03, 年平均大型車交通量 2,607 台/日, 大型車混入率 10.83%) と, 年増加率 4.5~12.5%で推移している (図-7 参照)。なお, 車線別交通量は, 2013 年平均のトラフィックカウンターによる計測結果から, 下りの大型車交通量のうち走行車線 89.1%, 追越車線 10.9%となっており, この値を通年値とした。

R C 床版のひび割れには大型車の通行量が影響することから、諫早~長崎多良見 IC 間の累積大型車交通量とひび割れ密度との関係を求めると、図-8 に示すように、全体的に累積大型車交通量が増加するとともにひび割れ密度が増加しているが、約8.9万台を変曲点として勾配が緩くなる傾向が認められる。この変曲点は、材齢5年に相当する交通量であり、この前後で区分して累積大型車交通量とひび割れ密度との関係を求めると、図-6と同様に、いずれもこれ以前はひび割れが累乗式関係で進行しているが、これ以後はひび割れの進行が直線式関係に変化しており、強い相関が認められる。

最終調査を行った 31.23 年(11,400 日)経過後までの 累積大型車交通量は、5,365,592 = 537 万台であるが、輪 荷重走行試験機による疲労試験結果 $^{1)}$ で「最終のひび割 れ密度がほぼ 10m/m 2 になること」と同様とみなされる。

3.4 床版の乾燥収縮(内部湿度)とひび割れ密度との

関係

(1) 外気の湿度とコンクリートの平均内部湿度

コンクリートの内部湿度の長期変動を基に、架設箇所の環境条件(気象庁データの湿度・気温:長崎)と実橋床版の膨張、普通の両コンクリート(測定位置① \sim ⑤)の平均内部湿度の推移を $\mathbf{2}$ -9に示す。材齢当初(26日:1982年7月 \sim 201日:1983年1月)は平均内部湿度が、外気の湿度より高く湿潤となっているが、乾燥の進行に伴い、1年経過後(382日:1983年7月)に両者の差が無くなっている。なお、長崎の1981年から2010年までの年平均の気温 17.2 $^{\circ}$ C、湿度70%である $^{\circ}$ 0。

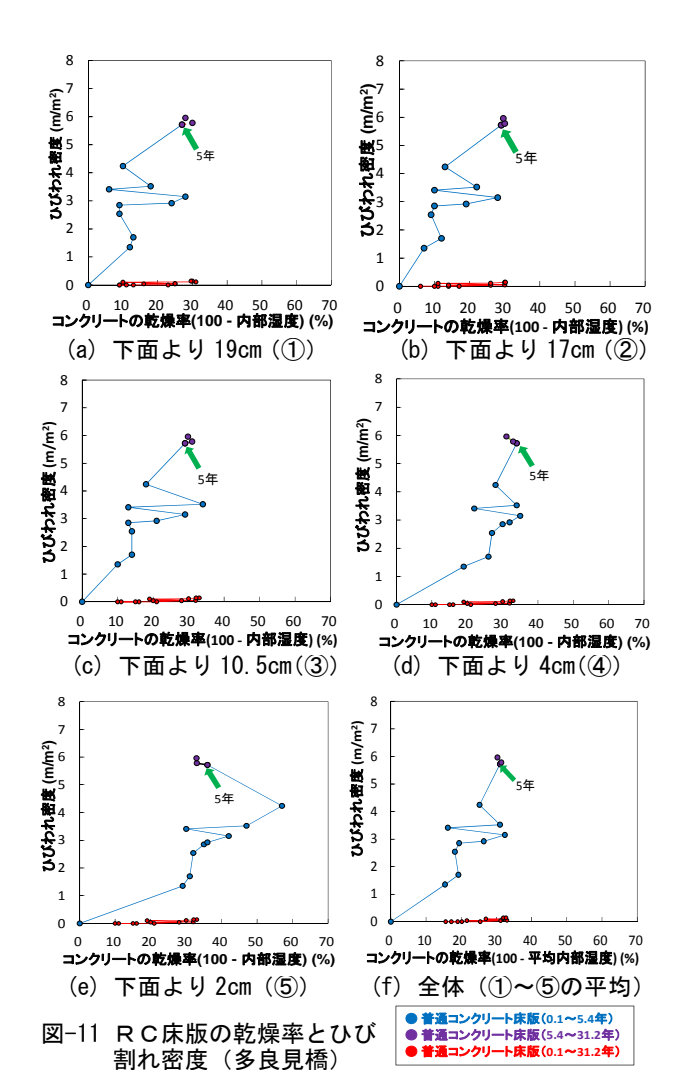
(2) 床版内部の湿度分布

乾燥の進行に伴う床版内部の湿度分布の変化 がは,図 -10 に示すとおりである。実橋床版の場合,材齢の経過に伴い,橋梁下を通過する吹きさらしの風によって床版下面から乾燥するため、内部湿度の分布は左に凸の曲線となって内部湿度の勾配が大きく生じている か。このため、上に凸となるように変形しようとするのに対し鋼桁の拘束・自重があることから、床版下面に引張応力が上面に圧縮応力が作用することとなっており、さらに、中央部は圧縮、上下面側は引張となるように内部応力が生じているとみなされる が の。しかし、材齢 30 年を経過した今回の調査結果からは、床版の乾燥が終了して全体的に内部湿度が均一化しており、長崎の年平均湿度とほぼ同一の 69%となっている。

一方, ダミー版の場合, 地上に置いた枕木の上(高さ約20cm)に設置しているため, 吹きさらしの風による乾燥がほとんどなしであり, 逆に地上からの植物や降雨の蒸発水の影響を受けて,舗装面にコケ類が繁茂している。このため, 内部湿度は, 5 年目以降逆に増加しており,全体的に内部湿度の勾配が小さく,上に凸となるように変形しようとする現象も生じていないとみなされる。

(3) 床版内部の湿度とひび割れ密度の関係

床版下面からの乾燥がひび割れ発生の原因となると 仮定し、図-10から、床版コンクリートの乾燥率(%)=



(100-内部湿度) として, 内部湿度の測定位置(①, ②, ③, ④, ⑤) ごとにひび割れ密度との関係を求めると, 図-11 に示すように、コンクリートの打込み直後の湿潤 でひび割れなしの時を起点として,全体的に乾燥(内部 湿度の低下) に伴いひび割れ密度が増加する関係が認め られる。ここで、図-10から、乾燥が最も遅くなる床版 内中央部の平均的な湿度分布である下面から 17cm (②) および下面から 10.5cm (③) の箇所の平均湿度は、材齢 の経過にともない図-12に示すとおり変化するが、一方、 図-9から、架設箇所の環境条件(年平均湿度70%)の 変化は、図-12に合わせて示すとおりである。これから、 床版内中央部の平均湿度は、材齢の経過とともに低下(乾 燥) し, 材齢約5年目に架設箇所の環境条件(月平均湿 度) と同一になっており、乾燥収縮が終了したものとみ なされる。図-11で、内部湿度とひび割れ密度との関係 を材齢5年に着目して見てみると、普通コンクリート床 版のひび割れ密度は、材齢5年までは乾燥率の増加に伴 い増加する関係が認められるが、それ以後はいずれも変 化が小さくなっている。以上から、RC 床版のひび割れ は、コンクリート品質に応じた材齢初期からの乾燥収縮 と温度変化による RC 床版の変形を鋼桁が拘束すること

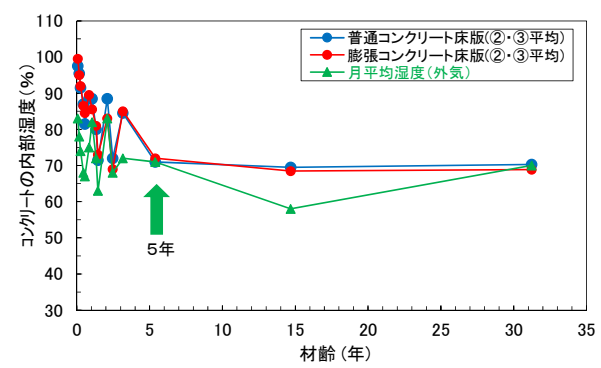


図-12 材齢とコンクリートの平均内部湿度(多良見橋)

によって発生するひび割れが、乾燥収縮が終了する材齢 までは、輪荷重によるひび割れよりも卓越して進行し、 その後輪荷重によるひび割れが進行することが判明した.

4. まとめ

膨張コンクリートによる鋼道路橋 RC 床版のひび割れ 対策工追跡調査結果をまとめると,次のとおりである。

- 1) 鋼道路橋 RC 床版のひび割れは、材齢初期からコンク リートの乾燥収縮と温度変化による変形に対する鋼 桁の拘束条件に応じて発生し、その後輪荷重(大型車 通行)が作用して進行・劣化することが、実証された。
- 2) 建設時に材料費アップであっても,膨張コンクリート を採用する工法は,ひび割れ劣化対策として有効な高 耐久性のRC床版が確保されることが、実証された。

参考文献

- 1) 松井繁之: 道路橋床版 設計・施工と維持管理, 森 北出版株式会社, pp.1-4, pp.57, pp.233-234, 2007.10
- 2) 日本道路公団:維持修繕要領(橋梁床版編), 1978.7
- 3) 武田昭彦・中村修吾・豊福俊泰:膨張コンクリート による鋼橋床版のひびわれ対策―長崎自動車道・黒 石浜橋(諫早IC 第四橋)の追跡調査―, コンクリー ト工学, Vol.21, No.3, pp.31-39, 1983.3
- 4) 豊福俊泰・西田巌・鶴窪広洋:鋼道路橋 RC 床版の ひびわれと膨張コンクリートによる対策工―長崎自 動車道・多良見橋の追跡調査―,コンクリート工学, Vol.24, No.2, pp.18-29, 1986.2
- 5) 豊福俊泰・西田巌・藤田栄三・寺井幸吉:鋼道路橋 RC 床版のひびわれと膨張コンクリートによるその 改善に関する研究,コンクリート工学, Vol.27, No.9, pp.91-106, 1989.9
- 6) 豊福俊泰・中村修吾・神保和己・城国省二:温度応力に起因する鋼道路橋コンクリート床版の初期ひび割れ,第7回コンクリート工学年次講演会論文集,pp.13-16,1985.6
- 7) 豊福俊泰・潮先正博: コンクリート構造物の初期ひび割れの発生予測とこれに対応した膜養生剤の開発, コンクリート工学, Vol.44, No.4, pp.33-42, 2006.4
- 8) 国立天文台編:理科年表 平成25年, 丸善出版株式 会社, 2012.11